



ARAŞTIRMA MAKALESİ/RESEARCH ARTICLE

YÜKSEK ORANDA UÇUCU KÜL İÇEREN BETONUN RÖTRESİ

Cengiz Duran ATİŞ^{1,2}, Kubilay AKÇAÖZOGLU¹

ÖZ

Bu çalışmada, yüksek oranda uçucu kül içeren betonun rötre özelliğini ölçmek ve değerlendirmek üzere bir labaratuvar araştırması yürütülmüştür. Çimento, ağırlık bazında, uçucu kül ile farklı yer-değiştirme oranlarında ika-me edilmiş ve çeşitli su-bağlayıcı malzeme oranları için beton karışımıları hazırlanmıştır. Betonların işlenebilirliği bir süper akışkanlaştırıcı kullanımı ile sağlanmıştır. Uçucu kül içeren betonların rötre değerleri sadece çimento içeren betonun rötresi ile karşılaştırılmıştır. Karşılaştırmalar farklı oranda uçucu kül içeren betonlar arasında da yapılmıştır. Karşılaştırma sonuçları, düşük su-bağlayıcı malzeme oranı ile birlikte çimentonun kısmen uçucu kül ile ika-me edilmesinin beton rötre değerlerinde % 55 e kadar azalmaya sebep olduğunu göstermiştir. Süper akışkanlaştırıcı kullanılarak üretilen betonlar, bu katkı malzemesi kullanılmadan üretilen betonların rötresinden daha yüksek rötre değerleri göstermişlerdir. Uygun bir şekilde dizayn edildiği takdirde uçucu kül içeren betonun, rötre birim kısalmalarından sakınılması gereken geniş endüstriyel saha betonları ve özellikle beton yol dösemeleri yapımı gibi alanlarda kullanılmaya uygun olduğu düşünülmektedir.

Anahtar Kelimeler: Rötre, Yüksek oranda uçucu kül içeren beton, Silindirlenebilen beton, süper akışkanlaştırıcı.

DRYING SHRINKAGE OF HIGH VOLUME FLY ASH CONCRETE

ABSTRACT

In this work, a laboratory investigation was carried out to evaluate the shrinkage properties of concrete containing high volumes of fly ash. Concrete mixtures, having different replacement level of fly ash in mass basis and with various water-cementitious material ratios were prepared. A superplasticizer was also employed to maintain the workability of concrete. Shrinkage of concrete containing fly ash was compared with that of the concrete containing no fly ash. Comparison was also made within fly ash concretes. The results of comparison showed that using fly ash as cement replacement in concrete with low water-cementitious material ratio resulted in a reduction on the shrinkage values up to 55 percent. Superplasticised concrete showed higher shrinkage values compared to concrete with no superplasticizer. Fly ash concrete proves that when it is properly designed, it can be used in the field where shrinkage should be avoided such as large industrial floors and concrete road construction in particular.

Key Words: Drying shrinkage, High volume fly ash concrete, Rcc, Superplasticizer.

1. GİRİŞ

Bilindiği gibi ülkemizde uçucu kül olarak bilinen fly ash, elektrik üreten termik santrallerde toz haline getirilmiş taş kömürünün yada linyitin yakıt olarak kullanılmasından sonra ikincil bir ürün olarak elde edilir. Termik santral fırınlarında yanın öğütülmüş yakıttan dolayı oluşan küllerden bir kısmı sıcaklığın etkisi ile yüksek bacalardan dışarı doğru uçuşurlar. Uçucu kül

olarak adlandırılan bu atık madde mekanik filtreler yada elektronik toplayıcılar vasıtasıyla toplanır. Böylece, uçucu küllerin bacadan çıkip civar bölgeleri kirletmesine engel olunur. Uçucu külün puzolanik özelliğe sahip olduğu bilinmektedir (Postacioglu, 1986; Mehta, 1986; Neville, 1995; Erdogan, 1997). Bu özellik nedeni ile son zamanlarda uçucu küler çimento içine katkı malzemesi olarak kullanılmakta ve beton üretiminde faydalılmaktadır.

¹ Çukurova Üniversitesi, Mühendislik Mimarlık Fakültesi, İnşaat Mühendisliği Bölümü, Balcalı, Adana.

² Faks: 0322 338 6126; E-posta: cengiz@mail.cu.edu.tr.

Uçucu küller kimyasal ve mineralojik kompozisyonları ve CaO içeriklerine göre düşük ve yüksek kireç içerikli olmak üzere iki sınıfa ayrılmaktadır. ASTM C-618 (1991) ise düşük ve yüksek kireç içerikli uçucu külteri sırasıyla F ve C sınıfı olarak ayırmaktadır.

Son zamanlarda, silindirlenebilen beton uygulaması ile yapılan yol kaplaması beton karışımında uçucu kül kullanımı oldukça yaygın bir hale gelmiştir. Uçucu külün bu şekilde kullanılması hem ekonomik olmakta hemde betonun işlenebilirlik, dayanım, rötre v.s. gibi bazı özelliklerini değiştirmektedir (Munn, 1984; Haque vd. 1984; Hansen ve Reinhardt, 1991; Nanni vd., 1996; Delagrave vd., 1997; Pittman ve Ragan, 1998). Ayrıca, endüstriyel atık bir malzeme olan uçucu külün depolama sorunu da böylelikle çözülmektedir (Mehta, 1983; Malhotra, 1993; Erdoğan, 1997).

Beton, yol kaplaması yapımında kullanıldığı zaman, rötrede dolayı oluşan hacim değişimleri oldukça önemli olmaktadır. Çünkü, pratikte taneli malzemeden oluşan ve yüksek sürtünme sağlayan alt-temel üzerine oturan, beton yol kaplaması bünyesinde rötre kısalmasından dolayı oluşacak hareket kısmen yada tamamen tutulmuş olmakta dolayısıyle çekme gerilmesi oluşmasına sebep olmaktadır. Bununla birlikte gerekli önlemler de alınmamış, uygun aralıklarda derz bırakılmamış yada beton çelik ile donatılmamış ise çekme gerilimlerine maruz kalın beton yol kaplaması üzerinde yer yer rötre çatalları oluşacaktır.

Ayrıca genellikle köprü kirişlerinin üretiminde kullanılan öngerilmeli betonda da rötre kısalmalarından dolayı öngerilme çeliklerinde bir gevşeme ve dolayısı ile öngerilme kayıpları oluşur (Lay, 1990). Bir yol kaplamasının alt ve üst kısımlarında oluşabilecek farklı rötelerden ise kıvrılmadan dolayı beton bünyesinde çekme gerilmesi oluşur (Neville, 1995).

Uçucu kül içeren betonun sümnesi ve rötresini inceleyen Ghosh ve Timusk (1981) uçucu külün cimentoyu ikamesinin rötrede azalmaya sebep olduğunu bildirmiştir. Benzer sonuç Cripwell vd. (1984) ve Nelson vd. (1991) tarafından da rapor edilmiştir. İlave olarak, Teorenau ve Niculescu (1982) uçucu kül ikame oranının artmasıyla rötrenin azalma gösterdiğini rapor etmiştir. Ancak, Munday vd.'nin (1982) sonuçlarına göre ise uçucu kül ikamesinin bazı betonlarda rötreyi azalttığı bazı betonlarda ise artışı tespit edilmiştir. Yuan ve Cook'un (1982) sonuçlarında uçucu kül içeren betonun rötresinin normal beton rötresinin mertebesinde olduğu bildirilmektedir.

Yukarıda bahsedilen nedenlerden dolayı, uçucu kül kullanım ile üretilen betonun rötre değerinin hangi mertebcede olduğunun bilinmesinde pratik açıdan faydalı bulunmaktadır. Bu çalışmada uçucu kül ve süper akışkanlaştırıcı kullanılarak muhtelif beton karışımıları

hazırlanmıştır. Rötre ölçümünde kullanılmak üzere numuneler elde edilip, bu numuneler tizerinde rötre ölçümleri ilk bir kaç saatten başlayarak 180 güne kadar belli zaman aralıklarında yürütülmüştür.

2. DENEYSEL ÇALIŞMA

2.1. Kullanılan Malzeme Özellikleri

Çimento: Bu çalışmada, TS19 (1992) ve BS12 (1996) standartlarına uygun normal Portland çimentosu (NPC) kullanılmıştır. Çimentonun kimyasal bileşenleri ve fiziksel özellikleri Tablo 1-2 de verilmektedir.

Uçucu Kül: Araştırmada kullanılan uçucu kül, İngilterenin Drax termik santralinden elde edilmiş olup, kimyasal bileşenleri ve fiziksel özellikleri Tablo 1-2 de verilmektedir. Uçucu kül ASTM C-618'e (1991) göre düşük kireçli olup, F sınıfına düşmektedir. Uçucu kül ait tane boyutu dağılımı Tablo 3 te verilmektedir. Drax uçucu külü TS639 (1975) ve BS 3892 (1992) standartları ile uyumludur.

Agrega: Beton karışımında kullanılan aggrega, kırılmamış-temiz, kuvarsitik doğal aggrega olup, maksimum tane çapı 10mm, görünen özgül ağırlığı kum ve iri aggrega için 2.65 gr/cm^3 ve su emme kapasitesi kum için % 0.1, iri aggrega için % 0.6 dir. Tablo 3 de elek analizi sonuçları verilen aggreganın tane dağılımı İngiliz standartı, BS 812'ye (1991) göre M bölgesine düşmiş olup, betonda kullanılmaya uygundur.

Süperakışkanlaştırıcı: Betonlarda işlenebilirliğin sağlanması amacıyla özel seçilmiş süper akışkanlaştırıcı kullanılmıştır. Kullanılan süper akışkanlaştırıcı Sika'nın (1991) Sikament 10 adlı ürünü olup, sıvı halde dir ve yüksek dozlu kullanımda prizi geçiktirmektedir. Süper akışkanlaştırıcı, tuz içeriği sıfır yakını bir ürün olup, düşük alkaliye sahip formaldehitsiz suda eriyebilen bir polimerdir.

Tablo 1: Çimento ve Uçucu Külün Kimyasal Kompozisyonları

Kimyasal Kompozisyon	Çimento %	Uçucu Kül %
SiO ₂	20.77	50.2
Al ₂ O ₃	4.93	28.59
Fe ₂ O ₃	3.06	13.17
CaO	63.28	2.55
MgO	2.42	1.28
SO ₃	3.02	0.57
K ₂ O	0.7	2.39
Na ₂ O	0.28	0.98
Kızdırma Kaybı	0.81	2.85

Tablo 2: Çimento ve Uçucu Külün Fiziksel Özellikleri.

Fiziksel Özellik	NPÇ	Drax
Özgül Ağırlık (gr/cm^3)	3.15	2.4
İncelik (45 mm elektre % kalan)	-	8.5
Özgül yüzey	$3500 \text{ cm}^2/\text{g}$	$3100 \text{ cm}^2/\text{g}$

Tablo 3. Uçucu ve Kaba Agrega ile Uçucu Kül Tane Boyutu Dağılımları.

Kum için			Uçucu Kül Tane Boyutu (μm)		% Geçen
Elek	(%)	BS 812	100	99.8	
Boytu (mm)	Geçen	Limitleri	80	97.1	
10	100	100	60	96.5	
5	95.95	89-100	50	35.3	
2.36	86.7	60-100	40	89.2	
1.18	81.11	30-100	30	84.7	
0.6	34.99	15-100	25	76.8	
0.3	9.36	5-70	20	66.3	
0.15	1	0-15	15	51.2	

Çakıl için			Uçucu Kül Tane Boyutu (μm)		% Geçen
Elek	(%)	BS 812	100	43.1	
Boytu (mm)	Geçen	Limitleri	80	31.9	
14	100	100	6	25.4	
10	85.15	85-100	5	19.5	
5	2	0-25	4	12.3	
2.36	0.5	0-5	3	7.1	
			2	6.2	
			1.5	0.02	

2.2. Beton Karışım Oranları

Bu çalışmada kullanılan kontrol karışımı minimum boşluk oranı kriterine göre dizayn edilmiştir (Cabrera ve Atis, 1999). NPC ile üretilen kontrol karışımının oranları çimento, kum ve çakıl için 1:1.5:3 olup, çimento miktarı 400 kg/m^3 tür. Rötre üzerindeki etkilerin araştırılması amacıyla üretilen beton karışımlarında uçucu kükler çimentoyu %50 ve %70 oranlarında ikame etmiştir. Tablo 4 de, üretilen ve test edilen betonların adları ve karışımında kullanılan malzeme miktarları verilmektedir.

Burada M0, bağlayıcı olarak sadece NPC içeren beton olup, diğer karışımın üretiminde baz olarak kullanılmıştır. M1, M2, M3 ve M4 karışımları uçucu kül kullanımı ile üretilen betonlardır. M1 ve M2 karışımı, %70 ikame oranı ile, M3 ve M4 karışımı ise %50 ikame oranı ile üretilmiştir. M1 ve M3 karışımında süper akişkanlaştırıcı da kullanılmıştır.

Uçucu kül içeren M2 ve M4 karışımının optimum su-bağlayıcı malzeme oranları Cabrera Sarsma Çökmesi (Cabrera ve Atis, 1999) adı verilen yöntemle tesbit edilmiştir. M2 ve M4 karışımı sıfır çökme değerine sahip olup silindirlenebilen beton olarak bilinmektedirler. Sıfır çökmeye sahip betonlara süper akişkanlaştırıcı ilavesi ile işlenebilirlik kazandırılmaya çalışılmıştır. Değişik oranlarda akişkanlaştırıcı miktarları ile ön denemeler yapılmış olup, çok düşük su-çimento

Table 4. Bir Metre-Küp Beton için Karışım Oranları.

Karışım No	Çimento (kg/m^3)	Uçucu Kül (kg/m^3)	Kum (kg/m^3)	Çakıl (kg/m^3)	Su (kg/m^3)	S/(UK+C)	SA (L)	Ölçülen B.Ağırlık. (kg/m^3)
M0	400	-	600	1200	220	0.55	-	2320
M1	120	280	600	1200	112	0.28	5.6	2340
M2	120	280	600	1200	116	0.29	-	2336
M3	200	290	600	1200	132	0.33	5.6	2360
M4	200	290	600	1200	120	0.3	-	2333

oranı, yüksek dozajda süper akişkanlaştırıcı ve yüksek oranda uçucu kül kullanımı nedeniyle akişkanlaştırıcıının yeteneğini ve betonun işlenebilirliğini, çökme deneyi kullanabilecek şekilde kontrol etmek mümkün olmamıştır. Bu nedenle sarsma tablasını kullanmak uygun görülmüştür.

Üreticinin tavsiye ettiği maksimum dozajda süper akişkanlaştırıcı kullanılarak, bulunan optimum su-bağlayıcı malzeme oranları ile beton karışımı hazırlanıp (M1 ve M3), işlenebilirlikleri sarsma tablası ile ölçülmüştür. M1 ve M3'in işlenebilirlikleri su-bağlayıcı malzeme oranları değiştirilerek M0 kontrol betonunun işlenebilirliğine yakın tutulmuştur. M0, M1, M3 karışımlarının işlenebilirliği, sarsma tablası ile ölçülmüş olup değeri 570-600mm arasında bulunmuştur.

Üretilen taze betonlarda kanama ve plastik rötre oluşmamış ve son priz zamanlarının 2-5 saat arasında olduğu tespit edilmiştir. Karışım sonunda ölçülen taze beton birim ağırlıkları Tablo 4 te verilmektedir.

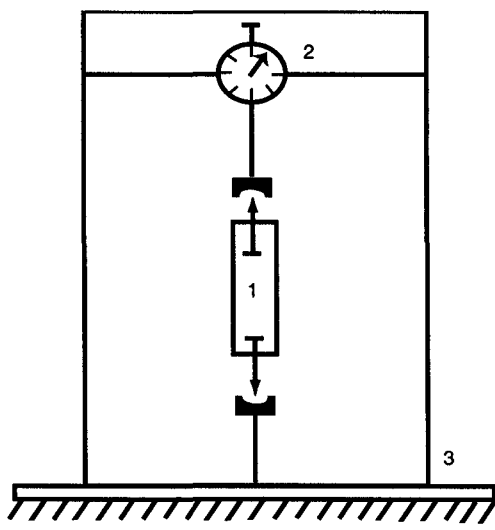
2.3. Numune Hazırlama ve Deney Düzeneği

Laboratuvar çalışmasında, $50 \times 50 \times 200 \text{ mm}$ boyutlarında olan beton prizmaların boy değişimleri, hashaslığı 1/400 mm olan mekanik bir komparatör ile ölçülmüştür. Komparatörle ölçüm yapılmasını kolaylaştırmak için her bir numunenin iki ucuna da ağızı oldukça yuvarlatılmış çelik çivî kalıplama esnasında yerleştirilmiş ve her bir beton karışımı için iki beton prizma numunesi hazırlanmıştır. Numuneler 24 saat sonra kalıptan çıkarılıp vakit kaybedilmeden sıcaklığı 20°C derece olan ve %65 bağıl neme sahip kür odasına yerleştirilmiş ve rötre ölçümleri hemen başlatılmıştır.

Rötre için kullanılan numunenin görünüsü, mekanik komparatör ve bağlılığı çerçevesiyle birlikte Şekil 1 de verilmektedir. Rötre numuneleri kuruma ortamına yerleştirildikten hemen sonra ilk okumalar alınmıştır. İlk okuma anından itibaren 1 saat, 2 saat, 3 saat, 1 gün, 3 gün, 7 gün, 28 gün, 3 ay ve 6 ay sonunda okumalar alınmıştır. Rötre değerleri, belirlenen her bir zaman ve numune için alınan okumaların ilk okumadan çıkartılması ve sonucun da numune boyuna bölünmeyle hesaplanmış ve bulunan birim boy değişimleri mikro-birim boy değişimine dönüştürülmüştür. Her bir zaman noktası için, iki adet numune kullanılmış olup, bu numunelere ait sonuçların ortalaması ise betonun rötresi olarak alınmıştır.

3. SONUÇLAR VE TARTIŞMA

Rötre beton içindeki çimento hamuru ve su-bağlayıcı malzeme oranı ile yakından ilgili olup, mertebesi esasen beton karışımı karakteristiğine ve NPC miktarı-



1- Örnek prizma iki ucuna çelik vida konulmuş
2- Ölçü skalası
3- Ölçü aletinin çerçevesi

Şekil 1. Rötre Ölçmede Kullanılan Aletin Prizma Örnek ile Birlikte Şeması.

na bağlıdır. Swamy ve Lambert (1986)'ın de açıkça sergilediği gibi beton içindeki çimento miktarı arttıkça rötre artmaktadır ve su bağlayıcı-malzeme oranı azaldıkça rötre azalmaktadır.

Laboratuvar araştırmasında elde edilen rötre ölçüm sonuçları Şekil 2 ve 4 te grafik olarak sunulmaktadır. Çok düşük su-bağlayıcı oranı ve yüksek oranda uçucu kül ikamesi ile üretilen betonun NPÇ betonundan daha az rötre yaptığı Şekil 3 ve Şekil 4 ten görülebilir. Bu sonuç diğer yayınlanmış dökümanlarda verilen bulgular ile paralellik içindedir (Naik vd., 1995; Epri, 1993; Nelson vd., 1992; Sivasundaram vd., 1989; Torii ve Kawamura, 1989; Samarin vd., 1983; Yamota ve Hideaki, 1983).

Tablo 5 uçucu kül ikame oranları arasındaki farkın %20 olduğunu göstermektedir. Rötreler arasındaki fark ise altı ay sonundaki rötre baz alındığında (Tablo 5 e bakınız) M1-M3 ve M2-M4 için sırasıyla %4.5 ve %10 dur. Şekil 2 den görüleceği gibi M1 ve M3 karışımıları hemen hemen aynı rötryi yapmışlardır. Bu bulgu M2 ve M4 beton karışımıları içinde geçerlidir. Yüzde yirmilik ikame farkına rağmen, uçucu kül ikame oranının değişiminin rötre değeri üzerindeki etkisini gösteren açık bir ilişki ve belirgin bir fark görülememiştir. İlk bakişa %70 oranında uçucu kül kullanımının %50 oranında uçucu kül kullanımına göre daha az rötre göstermesi beklenebilir. Ancak sonuçlar bu şekilde çalışmamış, bu iki oranın kullanımı ile üretilen betonlar birbirine yakın rötre değerleri göstermiştir. Bu sonuçların ise şu şekilde açıklanabilecegi düşünülmektedir: Beton karışımında sadece su-çimento oranları göz önüne alındığında, karışımalar için Tablo 5 de verilen su-çimento oranları bulunur. İkame oranı arttıkça çimento miktarı azalmak-

ta dolayısıyla su-çimento oranında artmaktadır (Tablo 5 e bakınız). Bu nedenle su-çimento oranındaki bu artış çimento miktarının azalmasından dolayı kazanılan avantajı yok eden bir etmen olarak göz önüne alınabilir.

Karışımında süper akışkanlaştırıcı kullanılan yüksek oranda uçucu kül içeren betonun süper akışkanlaştırıcı kullanılmadan üretilen silindirlenebilen betondan daha yüksek rötre değeri gösterdiği yürütülen laboratuvar çalışması sonuçlarından gözlenmiştir (Şekil 3-4). Bu bulgu Brooks (1989) tarafından da rapor edilen araştırma bulgularını destekler yöndedir. Benzer bulguları elde eden Cabrera vd. (1993) süper akışkanlaştırıcıların su yüzey gerilimlerini düşürdüğünü dolayı kazanılan avantajı yok eden bir etmen olarak göz önüne alınmıştır.

3.1. Önceki Çalışmalar ile Mukayese

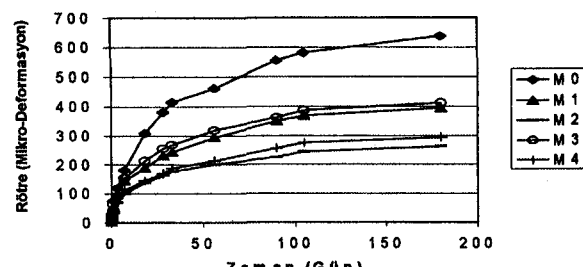
Bu bölümde diğer araştırmacıların sonuçları ile bu çalışmada bulunan sonuçların karşılaştırılması yapılmaktadır. Tablo 6 de sunulan bu çalışmaya ait sonuçlar, Tablo 7 te verilen Sivasundaram vd. (1989)'a ait olan sonuçlar ve Tablo 8 da verilen ve Epri (1993) dökümlerinde yayınlanan sonuçlar ile mertebe olarak paralellik göstermektedir. Basınç dayanımları 40-60 MPa olacak şekilde dizayn edilen ve işlenebilirlikleri süper akışkanlaştırıcı kullanılarak sağlanan betonların sümme ve rötre davranışları üzerinde çalışan Swamy ve Mahmud (1989) çimentoyu ağırlık bazında % 50 ikame oranında düşük kireçli uçucu kül ile ikame etmiş ve üzerinde çalıştığı betonların son rötre değerlerinin 400-500 mikro-deformasyon mertebesinde olduğu sonucuna varmıştır. Bildirilen rötre mertebesinin bu çalışma ile uyumlu olduğu söylenebilir. Tablo 9 de karşılaştırma yapılan kaynaklara ait beton karışım oranları verilmektedir.

4. SONUÇLAR

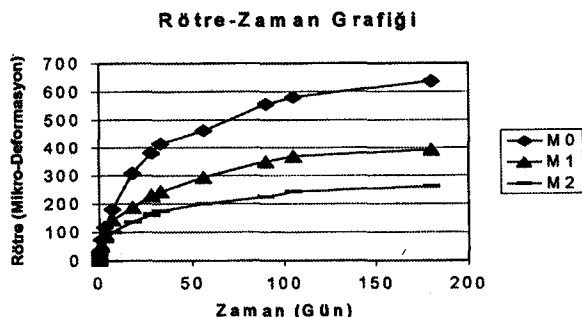
Elde edilen labaratuvar araştırması sonuçlarına ve yukarıda yapılan tartışmaya göre aşağıdaki sonuçlara varılmıştır.

1. Su-bağlayıcı malzeme oranının çok küçük tutulmasıyla birlikte çimentonun uçucu kül ile kısmen ikame edilmesi rötre değerini azaltmaktadır.

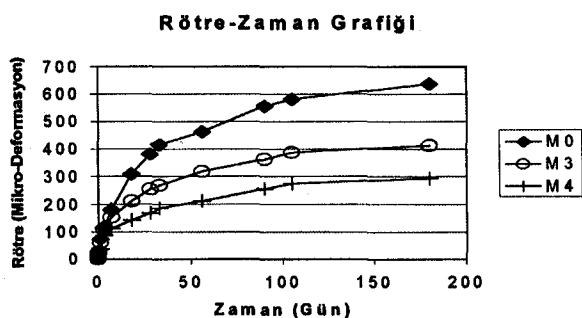
Rötre-Zaman Grafiği



Şekil 2. Üretilen Betonlara ait Rötre-Zaman Grafiği.



Şekil 3. M0, M1, M2 Betonlarına Ait Rötre-Zaman Grafiği (%70 İkame Oranı).



Şekil 4. M0, M3, M4 Betonlarına Ait Rötre-Zaman Grafiği (%50 İkame Oranı).

Tablo 5. Uçucu Kül İkame Oranları ve Karışımına Ait Su-Çimento Oranları.

İkame Oranı	S/(Ç+UK)	S/Ç	Rötre 6 Ayda
M0	0	0.55	625
M1	70	0.28	394
M2	70	0.29	263
M3	50	0.33	412
M4	50	0.3	294

Tablo 6. Yüksek Oranda Uçucu Kül İçeren Beton ile NPÇ Betonunun Rötre Değerleri.

% 65 Bağlı nemli ve 20 °C de kür edilmiş					
Karışım No.	M0	M1	M2	M3	M4
Rötre 105 gündे	581	369	244	388	275
Rötre 6 ayda	625	394	263	412	294

Tablo 7. Yüksek Oranda Uçucu Kül İçeren Beton ile NPÇ Betonunun Rötre Değerleri (Sivasundaram vd., 1989).

Karışım No.	Suda bir hafta kür edilmiş			Suda üç ay kür edilmiş		
	Ref.	Ash L	Ash S	Ref.	Ash L	Ash S
Rötre 112 gündे	500	496	454	447	383	294
Rötre 6 ayda	600	560	530	475	410	330

Tablo 8. Yüksek Oranda Uçucu Kül içeren Beton ile NPÇ Betonunun Rötre Değerleri (Epri Report, 1993).

Karışım No.	Suda bir hafta kür edilmiş		Suda üç ay kür edilmiş	
	Ep1	Ep13	Ep1	Ep13
Rötre 112 gündे	380	444	355	333
Rötre 224 gündे	418	468	411	369

Tablo 9. Rötre Değerleri Karşılaştırılan Kaynaklara Ait Beton Karışım Oranları.

Karışım No.	Çimento (kg/m ³)	Uçucu Kül (kg/m ³)	Kum (kg/m ³)	Çakıl (kg/m ³)	Su (kg/m ³)	S/(UK+Ç)	SA (kg/m ³)	Hava Katıksı mL/m ³
Ep1	150	210	640	1195	120	0.33	4	300
Ep13	150	210	640	1195	120	0.33	2.5	325
Ref.	365	-	625	1290	115	0.31	9.3	590
Ash L	155	214	625	1290	115	0.31	5.5	820
Ash S	155	214	625	1290	115	0.31	5	525
Swamy	233	233	660	1035	148	0.32	8.4	-

2. Karışımında süper akışkanlaştırıcı bulunan betonlar süper akışkanlaştırıcı kullanılmayan silindirlenebilen betona göre daha fazla rötre yapmaktadır.
3. Rötre yol kaplamasında ve döşeme betonlarında çatıtlıkların oluşmasına sebep olan önemli bir etmen olduğundan dolayı, silindirlenebilen ve yüksek oranda uçucu kül ihtiyac eden betonun düşük rötresi özellikle beton yol kaplamasında oluşacak yansıtma çatıtlıklarını önlemede faydalı olacaktır.
4. Beton inşası sırasında bırakılması zorunlu olan derzlerin sayısı, çimentonun kısmen uçucu kül ile ikamesi ve çok düşük su-bağlayıcı oranı nedeniyle düşük rötre değerine sahip olan silindirlenebilen ve yüksek oranda uçucu kül içeren beton kullanımı ile azaltılabilir.

KAYNAKÇA

ASTM C-618. (1991). Standard Specification for Fly Ash and Raw Calcined Natural Pozzolan for Use as a Mineral Admixture in Portland Cement Concrete, Annual Book of ASTM Standards.

British Standard Institution, BS 812, Part 1. (1991). Testing Aggregates, Sampling, Shape, Size and Classification, London.

British Standart Institution, BS12. (1996). Specification for Portland Cement, London.

British Standart Institution, BS3892. (1992). Specification for Pulverized-Fuel Ash for Use with Portland Cement, London.

- Brooks, J. J. (1989). Influence of Mix proportions, Plasticizers and Superplasticizers on Creep and Drying Shrinkage of Concrete. *Magazine of Concrete Research*, 41(148), 145-153.
- Cabrera, J. G., Brooks, J. J. ve Berenjian, J. (1993). The Effect of Creep and Drying Shrinkage on the Micromorphology of Cement Paste Containing Superplasticizers, Creep and Shrinkage of Concrete. *Proc. of the 5th Int. RILEM Symp.*, ss.115-120.
- Cabrera, J., G. ve Atis, C. D. (1999). Design and Properties of High-Volume Fly Ash High Performance Concrete. *Proc. of 2nd Int. Conf. on High-Performance Concrete, Performance and Quality of Concrete Structures*, ACI SP-186, 1-4 Haziran, Hotel Serrano, Gramado - RS - Brazilya.
- Cripwell, J. B., Brooks, J. J. ve Wainwright, P. J. (1984). Time Dependent Properties of Concrete Containing Pulverised Fuel Ash and A Superplasticizer. *Proc. of the 2nd Int. Conf. on Ash Technology and Marketing, Barbican Centre*, London, 16-21, Eylül, ss.115-120.
- Delagrange, A., Marchand, J., Pigeon, M. ve Boisvert, J. (1997). Deicer Salt Scaling Resistance of Roller Compacted Concrete Pavements. *ACI Materials Journal*, 96(2), 164-169.
- Epri Report. (1993). Investigation of HVFA Concrete Systems, *Epri Jr-103151 Project*, 3176-06 Final Report, CANMET.
- Erdogán, T. Y. (1997). Admixtures for Concrete, The Middle East Technical University Press, Ankara.
- Ghosh, R. S. ve Timusk, J. (1981). Creep of Fly Ash Concrete. *ACI Materials Journal*, 78(5), 351-357.
- Hansen, K. D. ve Reinhardt, W. G. (1991). *Roller-Compacted Concrete Dams*. McGraw Hill Inc. Publication, New York.
- Haque, M. N., Langan, B. W. ve Ward, M. A. (1984). High Fly Ash Concrete. *ACI Materials Journal*, 81(1), 54-60.
- Lay, M. G. (1990). *Handbook of Road Technology*. Gordon and Breach Science Publishers.
- Malhotra, V. M. (1993). Fly Ash, Silica Fume and Rice-Husk Ash in Concrete : A Review. *Concrete International*, 15 (4), 23-28.
- Mehta, P. K. (1983). Pozzolanic and Cementitious By-Products as Mineral Admixtures for Concrete – A Critical Review. *Proc. of 1st Int. Conf. on the use of Fly Ash, Silica Fume, Slag and other mineral by-products in Concrete Kanada*, Montebello, 31 Temmuz-5 Ağustos, Editor. V. M. Malhotra; ACI SP-79, Detroit, ss.1-48.
- Mehta, P. K. (1986). *Concrete: Structure, Properties, and Materials*. Prentice-Hall, Inc. Englewood, New Jersey.
- Munday, J. G. L., Ong, L. T., Wong, L. B. ve Dhir, R. K. (1982). Load Independent Movements in OPC/PFA Concrete, *Proc. of Int. Symposium on The Use of PFA in Concrete*, 14-16 Nisan, İngiltere, Leeds, ss.243-253.
- Munn, R. L. (1984). Fly Ash in Roller Compacted Concrete Pavement and Slipformed Applications. *Proc. of 2nd Int. Conf. on Ash Technology and Marketing*, Eylül, London, ss. 445-460.
- Naik, T. R., Ramine, B. W. ve Tews, J. H. (1995). Pavement Construction with High Volume Class C and Class F Fly Ash Concrete, *ACI Materials Journal*, 92(2), 200-210.
- Nanni, A., Ludwig, D. ve Shoenberger, J. (1996). Roller Compacted Concrete for Highway Pavements, *Concrete International*, 18(5), 33-38.
- Nelson, P., Srivatnanon, V. ve Khatri, R. (1992). Development of High Volume Fly Ash Concrete for Pavements. *Proc. of the 16th of the ARRB Conference*, Perth, Avustralya, 9-12 Kasım, ss. 37-47.
- Neville, A. M. (1995). *Properties of Concrete*, 4th Ed. Longman Group UK Limited.
- Pittman, D. W. ve Ragan, S. A. (1998). Drying Shrinkage of Roller-Compacted Concrete for Pavement Applications. *ACI Materials Journal*, 95(1), 19-25.
- Postacioğlu, B. (1986). *Beton*, Cilt 1, Teknik Kitaplar Yayınevi, İstanbul.
- Samarin, A., Munn, R. L. ve Ashby, J. B. (1983). The use of fly ash in concrete –Australian Experience, *Proc. of first Int. Conf. on the use of Fly Ash, Silica Fume, Slag and other mineral by-products in Concrete*, Canada, Montebello, Kanada, 31 Temmuz-5 Ağustos, Editor. V. M. Malhotra; ACI SP '79, Detroit, ss.143-172.
- Sika (1991). *Sika Concrete Admixtures*, Sika Limited, Wachmead, Welwyn, Garden City, İngiltere.
- Sivasundaram, V., Carette, G. C. ve Malhotra, V. M. (1989). Properties of Concrete Incorporating Low Quantity of Cement and High Volumes of Low-Calcium Fly Ash. *Proc. of 3rd Int. Conf. on Fly Ash, Silica Fume, Slag and Natural Pozzolans in Concrete*, Ed. V. M. Malhotra, Trodheim, Norveç, ACI SP-114, ss. 45-71.

Swamy, R. N. ve Lambert, G. H. (1986). Shrinkage and Creep Behavior of Concrete Made with PFA Coarse Aggregate. *Proc. of ACI/Canmet 2nd Int. Conf. on Fly Ash, Silica Fume, Slag and Natural Pozzolans in Concrete*, SP-91, Madrid, İspanya, ss.145-167.

Swamy, R. N. ve Mahmud, H. B. (1989). Shrinkage and Creep behavior of High Fly Ash Content Concrete, *Proc. of 3rd Canmet/ ACI Int. Conf. on Fly Ash, Silica Fume, Slag and Natural Pozzolans in Concrete*, Ed. V. M. Malhotra, Trondheim, Norveç, ACI SP-114, ss. 453-471.

Teorenau, I. ve Nicolescu, L. D. (1982). The Properties of Power Station Fly-Ash Concrete, *Proc. of Int. Symposium on The Use of PFA in Concrete, April 14-16*, İngiltere, Leeds, ss.231-241.

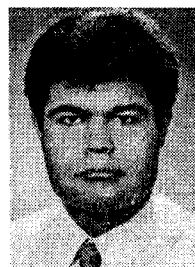
Torii, K. ve Kawamura, M. (1989). Some properties of Dry Lean Rolled Concrete Containing Fly Ash. *3rd Canmet/ ACI Int. Conf. on Fly Ash, Silica Fume, Slag and Natural Pozzolans in Concrete, Supplementary papers*, Compiled by: Mohammed Alasali, Trondheim, Norveç, ss. 222-236.

Türk Standartları Enstitüsü, TS19. (1992). *Çimento-Portland Çimentoları*, Ankara.

Türk Standartları Enstitüsü, TS639. (1975). Uçucu Küller, Ankara.

Yamota, T. ve Hideaki, S. (1983). Shrinkage and Creep of mass concrete containing fly ash, *Proc. of first Int. Conf. on the use of Fly Ash, Silica Fume, Slag and other mineral by-products in Concrete*, Canada, Montebello, Kanada, 31 Temmuz-5 Ağustos, Editor. V. M. Malhotra; ACI SP-79, Detroit, ss.87-101.

Yuan, R. L. ve Cook, J. E. (1982). Time Dependent Deformations of High Strength Fly Ash Concrete. *Proc. of Int. Symposium on The Use of PFA in Concrete*, 14-16 Nisan, İngiltere, Leeds, ss. 255-260.



Cengiz Duran Atış, 1964 yılı Adana doğumlu olup, orta ve ilk öğrenimini 1982, Lisans eğitimini 1988 Çukurova Üniversitesi'nde ve Yüksek Lisans eğitimini 1991 Çukurova Üniversitesi'nde tamamlamıştır. Doktora ünvanını ise Leeds Üniversitesi'nde (İngiltere) 1997 yılında almaya hak kazanmıştır. Yazar halen Çukurova Üniversitesi Mühendislik-Mimarlık Fakültesi İnşaat Mühendisliği Bölümünde Yardımcı Doçent olarak görev yapmaktadır.



Kubilay Akçaözoglu, 1975 yılı Osmaniye doğumlu olup, orta ve ilk öğrenimini 1992 ve Lisans eğitimini 1998 Çukurova Üniversitesi'nde tamamlamıştır. Yazar halen Çukurova Üniversitesi Fen Bilimleri Enstitüsü bağlı olarak Yüksek Lisans eğitimi devam etmekte ve Çukurova Üniversitesi Mühendislik Mimarlık Fakültesi İnşaat Mühendisliği Bölümünde Araştırma Görevlisi olarak görev yapmaktadır.